

電源開発株 正会員 和田滋郎 田中堅太郎 黒田孝 大西外明 村上元
清水建設株 正会員 久富洋 磐城脩 田中伸幸

1. 弾性解析

模型体がプレストレス力を受けた状態および設計圧時の状態(設計圧43 kg/cm², およびプレストレス力)における変形、ひずみを調べるために、有限要素法による弾性解析を行った。模型体は軸対称回転体として扱い、若干の非軸対称部分に対しては解析上の配慮および別途行なった予備実験によりその影響の処理、補正を行なった。

解析は3角形リング要素で6節点で構成される変化ひずみ要素を用いるもの(解析A1)と同じく3節点構成の定ひずみ要素を用いるもの(解析A2)の2ケースについて行なった。解析A1では要素数298, 節点数659, 解析A2では要素数909, 節点数527である。また、連立方程式の解法はA1がConjugate Gradient法、A2が繰返し法のBlock Successive Over-Relaxation法である。また要素の体積積分はA1では解析的手法、A2ではガウス積分によっている。

各部分の解析条件は、次のとおりである。

1) トップスラブ；模型体のトップスラブにはスタンダードパイプも模擬した直径76.3 mm, 内厚4.2%の鋼製パイプ100本の開孔部がある。このスラブを軸対称回転体として解析するため、Z軸方向に異方性を有する直交異方性体を考えた。この仮定の下で2次元有限要素解析を行い、次のヤング率およびボアソン比を得た。

$$Z\text{方向} ; E_1 = 0.707 E_c, \nu_1 = 1.329 \nu_c$$

$$Y\text{方向} ; E_2 = 0.655 E_c, \nu_2 = \nu_c$$

(E_c, ν_c はそれぞれ一般部コンクリートの値)

2) ライナー；ライナーの剛性効果は、PCPVの設計上は考慮しないのが通常であるが、縮尺模型の場合はライナーの効果が表れることが予想されるため解析A1においてはライナー剛性を考慮した場合をも含めて計算した。

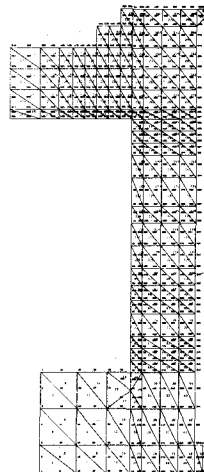


図-1 要素分割図

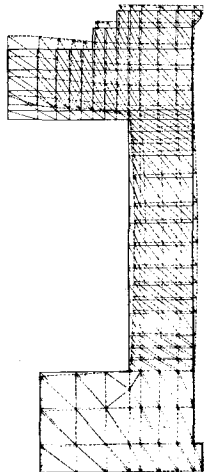


図-2 内圧時変形図

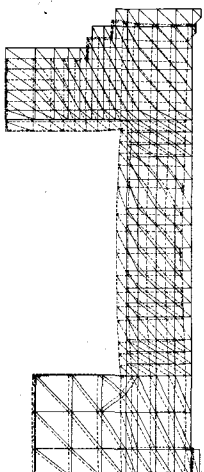


図-3 プレストレス時変形図

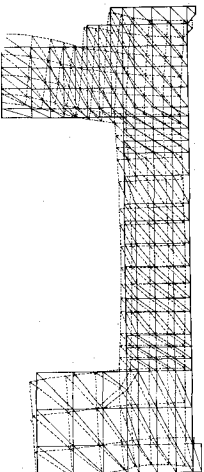


図-4 变形図

- 3) ペネトレーション；模型体の壁下部には8ヶの鋼製ペネトレーションがあるが、これによる剛性低下については、局部的解析で行うこととした。本解析では影響が少ないとして無視した。
- 4) テンドンシース；シースによるコンクリートの断面欠損は、シース材の肉厚によって補なり、見かけのヤング係数は不变となるようにした。
- 5) テンドン；内圧による模型体変形はテンドン緊張力を増加させるが、予備解析の結果、この増加分は約1%であり、各テンドン緊張力の測定誤差内であるため無視した。
- 6) 支持方法；模型体はネオプレン板を介して4本のコンクリート諸鋼管で支えられていたが、解析上はこれを直線したリニア状支持し考えて処理した。
- 7) プレストレス力の分布；テンドンとシース間の摩擦係数は、実測結果を基に $\mu = 0.125$ とし、摩擦ロスはテンドン中央で最大、両端で0となるように分布させ、正方向が付は、定着部節点に集中するものとした。

解析AIに対する要素分割、各応力状態での変位図を図1～4に、ライナー剛性算入の有無による代表的な応力分布比較図を図5,6に示す。以上の解析の結果、ライナー剛性を考慮することにより一般的に変位が10%内外少なくなっているが必ずしも一様ではない。また解析上の特異点には少なからず影響があることが確認された。これ等の値の取り扱いは一考を要すると思われる。

2. 設計圧テスト

加圧方法は水圧によるもので、複胴型重動ポンプを用いて、精度0.1kg/cm²で昇降圧を行った。加圧

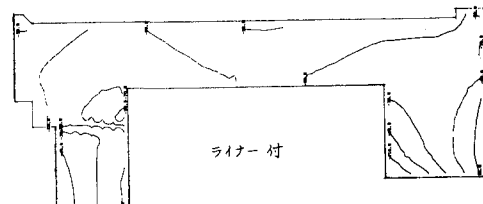
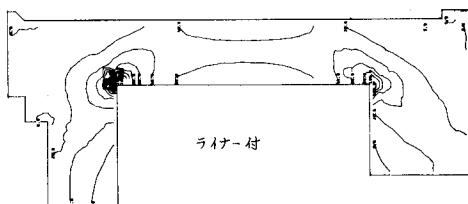
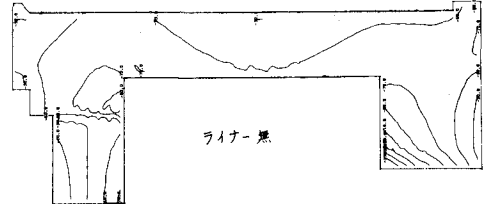
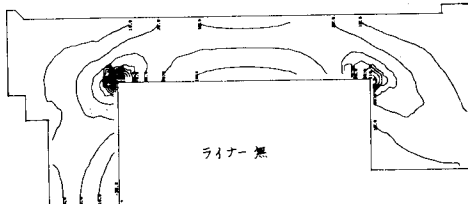


図-5 内圧時主応力線図

図-6 上方向応力線図
内圧+プレストレス

ステップは、 5 kg/cm^2 単位で、各段階毎に測定を行いつつ 43 kg/cm^2 まで昇圧後、5段階で降圧した。

加圧速度は、往復共 $2 \sim 2.5 \text{ kg/cm}^2$ であり、計測に要した時間は、各段階で 3 ~ 5 分である。実験は前後 8 回にわたって行ったが、1 回の実験に要した所要時間は 70 ~ 90 分であった。実験室、模型体各部、測定フレーム等の温度変動は、1 回の実験につき 0.2°C 程度で、測定結果に影響はないと考えられる。

3. 実験結果

変形に関する実験結果のうち、X-Y レコーダーで記録したトップスラブ中央部の圧力 - 变位曲線を図 7 に、模型体外表面の設計圧時 (43 kg/cm^2) の变位分布を図 9 ~ 11 にそれぞれ示す。これ等の結果より解析 A1 と A2 やび 8 回の測定結果は、たがいに良い一致を示しており、実験中剛性低下、残留ひずみ増大などの特性値の変動は認められない。

コンクリートのひずみについては、定量的な値を表 1 に、上部隅角部分の分布状態を図 8 に示した。表 1 より解析 A1 の方が A2 よりやや実測値に近いことまた、図 8 より、解析値と 2 組の実測値がより一致性を示していることが判る。解析値は、A1 (変化ひずみ要素) によるものが、A2 (定ひずみ要素) のそれよりも、変位で 3 ~ 4 %、ひずみで 10 % 程度大きめに出ているが、定性的な面ではいずれも良い一致を示している。

トップスラブについては、变位に関しては良い一致を示しているが、ひずみに関しては開孔口の局部的影響を受けて、若干の差異を生じている。

側壁の变位に関しては、上部で実験値が小さめに出ているが、これはトップスラブの面内剛性、ヤング率、PS 率、ティナーリ強度等の影響と考えられる。

模型体の均一性ないしは対称性については、図 8 に見られるどおりであり、満足できるものである。

計測に使用した 3 種類の埋設ゲージの指示値はそれぞれ若干のばらつきが認められる。これは、別途実施した 1 軸試験により、表面ゲージに比べて、モールドゲージは約 20 % 少なく、カールソンおよびバイブルーティングゲージは、10 % 程度大きい指示値を与えることが確かめられており、実験値もほぼ同じ傾向を示すこともよび埋設個所の不均一性によるものとして説明できる。

テンドンの応力は、定着部ロードセルで測定し、設計圧時で 0.5 % 程度の増大を測定した。

4. 結び

8 回の実験を通じて、模型体の挙動は弾塑性であり、剛性低下は認められていなし。また解析も実験との対比も満足できるものであり、軸対称回転体の有限要素解析手法、実験技術とともにその妥当性

		10^{-6}ストレイン		
ゲージ位置		実測値	計算値 A1	計算値 A2
側 壁 内 部	C - 72 Z (225°)	145		
	V - 72 Z (45°)	165	161	144
	M - 72 Z (135°)	115		
	C - 72 θ (225°)	165		
内 部	V - 72 θ (45°)	180	173	159
	M - 72 θ (135°)	90		
	C - 74 Z (225°)	- 10		
	V - 74 Z (45°)	25	- 24	- 30
内 部	M - 74 Z (135°)	0		
	C - 74 θ (225°)	300	294	279
	V - 74 θ (45°)	285		
	C - 23 Z (225°)	30	19	16
腰 部	M - 23 Z (135°)	20		
	C - 23 θ (225°)	40		
	V - 23 θ (45°)	50	49	46
	M - 23 θ (135°)	25		
ト ップ ス ラ ブ	V - 23 R (45°)	- 35	- 29	- 22
	M - 23 R (135°)	- 25		
表 面	C - 27 R	200	216	171
	M - 27 R	155		
	M - 37 R	35	52	26
	V - 47 R	- 60	- 110	- 114
	M - 47 R	- 70		
表 面	S - 71 Z	173	188	172
	S - 71 θ	130	164	159
	S - 61 Z	- 21	- 11	- 10
	S - 61 θ	40	57	56

$E = 308,000 \text{ kg/cm}^2$
ゲージ位置は(その 1) 参照

表-1 設計圧時ひずみ測定結果

を確認し得たと考えている。なお、本実験は重慶開拓(株)も清水建設(株)との共同で行われたもので、この後、こうに算定して実験を行い、PCPVの安全性の実証を行う計画も実施中であり、追ってその成果を報告する予定である。(技術協力：英國、McAlpine 社)

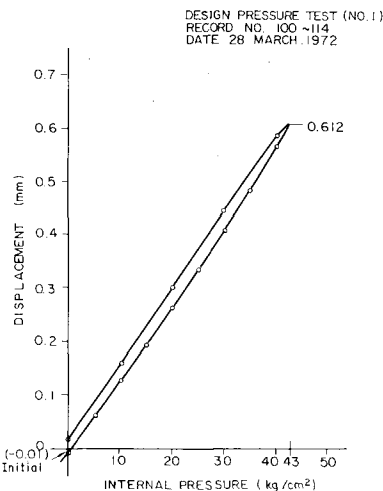


図.7 PRESSURE-DEFLECTION CURVE OF TOP SLAB CENTER

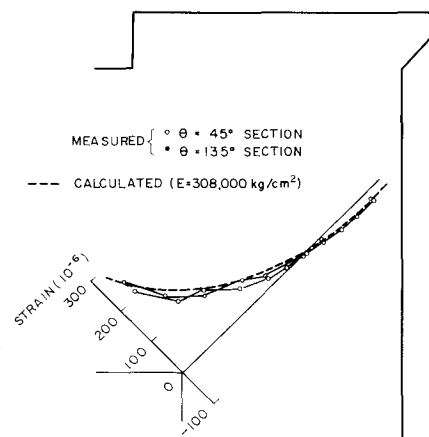


図.8 STRAIN DISTRIBUTION IN TOP CORNER

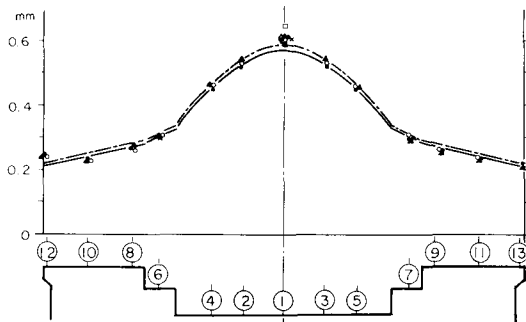


図.9 VERTICAL DEFLECTION OF TOP SLAB

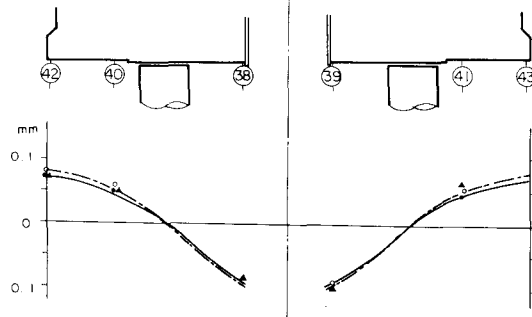


図.10 VERTICAL DEFLECTION OF BOTTOM SLAB

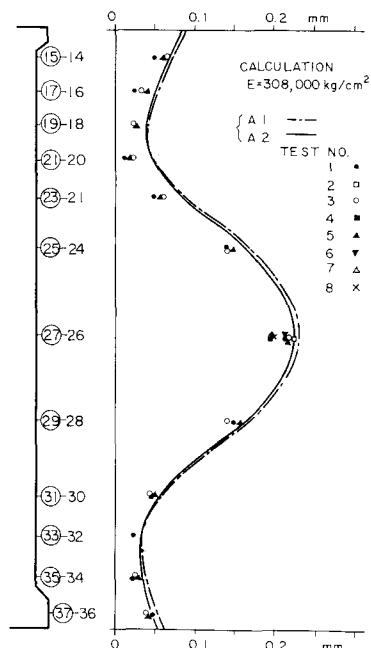


図.11 OUTWORD DEFLECTION OF WALL